



طبقه‌بندی نظارت شده لندفرم‌های ژئومورفولوژیکی مناطق خشک با استفاده از پارامترهای ژئومورفومتریک (نمونه موردنی: منطقه منجاناب)

سیاوش شایان^{*}، مجتبی یمانی^۲، منوچهر فرجزاده^۳، علی احمدآبادی^۴

۱. استادیار گروه جغرافیای طبیعی، دانشگاه تربیت مدرس

۲. دانشیار گروه جغرافیا، دانشگاه تهران

۳. دانشیار گروه سنجش از دور، دانشگاه تربیت مدرس

۴. استادیار گروه ژئومورفولوژی، دانشگاه خوارزمی

تاریخ پذیرش مقاله: ۱۳۹۱/۱/۲۹

تاریخ دریافت مقاله: ۱۳۹۰/۹/۲۸

چکیده

با توجه به اهمیت مطالعه لندفرم‌ها و پراکنش فضایی آنها در ژئومورفولوژی و سایر علوم محیطی، در این مقاله روشی کمی با استفاده از پارامترهای مورفومتریک حاصل از مدل رقومی ارتفاع برای طبقه‌بندی لندفرم‌های مناطق خشک ارائه شده است. پارامترهای ژئومورفومتریک استفاده شده شامل شبیب، انحنای پروفیل، انحنای طولی و انحناهای حداقل و حداکثر هستند که برای تشخیص ویژگی‌های مورفومتریک و شکلی لندفرم‌ها مناسب‌اند و تا حد زیادی نیز با فرایندهای ژئومورفولوژیکی سروکار می‌یابند. نقشه پارامترهای ژئومورفومتریک در ساختار رستری و با استفاده از مدل رقومی ارتفاع SRTM در منطقه کویر مرنجاب به دست آمد و طبقه‌بندی با استفاده از روش طبقه‌بندی نظارت شده حداکثر شباهت (MLC) و نمونه‌های آموزشی برداشت شده از لندفرم‌های منطقه مطالعاتی انجام شد. از نتایج به دست آمده از این طبقه‌بندی، لندفرم‌های منطقه را در هفت کلاس مخروط‌افکنه، تپه‌های ماسه‌ای مختلط، عرضی و برخان، تیغه سنگی، تپه سنگی و پلایا نشان می‌دهد؛ به طوری که پلایا بیشترین گسترش را در منطقه دارد. نتایج ارزیابی آماری کلاس‌های لندفرمی نیز با سه پارامتر حداقل و حداکثر و میانگین ارائه شده است. به علاوه، ارزیابی دقیق طبقه‌بندی با استفاده از نقشه پایه ژئومورفولوژی منطقه مرنجاب انجام گرفته است و نتایج نشان می‌دهند که دقیق‌ترین طبقه‌بندی حدود ۸۱ درصد و شاخص کاپا برابر ۰/۷۳ است.

کلیدواژه‌ها: ژئومورفومتری، لندفرم، طبقه‌بندی نظارت شده MLC، مرنجاب.

* نویسنده مکاتبه‌کننده: تهران، جلال آلمحمد، دانشگاه تربیت مدرس، دانشکده علوم انسانی، تلفن: ۸۲۸۸۴۶۱۱

Email: Shayan @ modares.ac.ir

۱- مقدمه

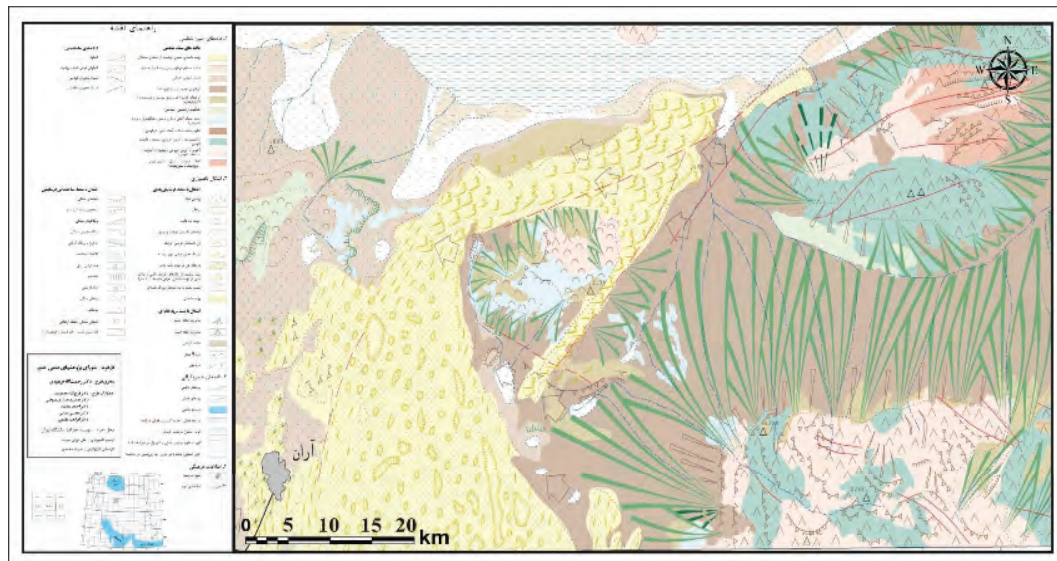
بررسی لندرفرم‌ها استفاده می‌کنند. لیکن در اوایل دهه ۱۹۶۰ روش‌های کمی وارد مطالعات لندرفرم‌ها شدند (Kosmas Pavlopoulos et al., 2009). در روش سنتی تشخیص لندرفرم‌ها تشخیص بصری آنها از روی داده‌های سنجش از دور فاقد سرعت و دقت لازم است و از طرفی وجود مفسر متخصص نیز ضروری است. از این رو استفاده از روش‌های شناخت اتوماتیک لندرفرم‌ها از روی داده‌های سنجش از دور، نوعی ضرورت می‌نماید. در ژئومورفولوژی عددی ویژگی‌های فضایی و آماری و همچنین ارتباطات ویژگی‌های نقطه‌ای مطالعه می‌شود (Evans, 1972). طبقه‌بندی خودکار واحدهای ژئومورفولوژیکی و لندرفرم‌ها عمدهاً بر پارامترهای Giles and Franklin, 1998; (Miliaresis, 2001; Bue and Stepinski, 2006) پارامترهای مورفولوژیک بیانگر مشخصات فرم و شکل سطح زمین و همچنین فرایندهای ایجاد‌کننده آن شکل‌ها هستند (Jamieson et al., 2004). و از طرف دیگر مبنای طبقه‌بندی واحدهای فرمی در ژئومورفولوژی نظریه سلسه‌مراتبی به‌شمار می‌آیند (Ramesht, 2006).

مدلهای رقومی ارتفاعی از منابع مختلفی چون نقاط ارتفاعی، خطوط تراز و یا رادار مانند داده‌های SRTM^۱ تهیه می‌شوند. تا کنون با استفاده از مدل‌های رقومی ارتفاع srtm که از داده‌های به کاررفته در این تحقیق است مطالعات زیادی در زمینه‌های مورفولوژی آتش‌فشان (Wright et al., 2006), آنالیز اشکال ماسه‌ای بادی (Blumberg, 2006) مدل‌های هیدرولیکی (Ludwig and Schneider, 2006), (Grohmann et al., 2007), تحلیل‌های مورفوکتونیکی (Iwahashi and Pike, 2007), و استخراج شبکه زهکشی (Ahmadabadi et al., 2009) انجام پذیرفته است.

-
1. Geomorphometry
 2. Shuttle Radar Topography Mission

در تمامی تعاریف ژئومورفولوژی بر مطالعه و شناسایی لندرفرم‌ها تأکید شده است (Lobeck, 1939; Chorley et al., 1964; Summerfield, 1991) و نحوه پراکنش آنها از نیازهای اساسی در علم ژئومورفولوژی کاربردی و سایر علوم محیطی است و نقشه لندرفرم‌ها نمایانگر اشکال سطح زمین و نیز ماهیت فرایندهایی است که در ناحیه در زمان حاضر رخ می‌نمایند (Shayan et al., 2004) تولید نقشه از لندرفرم‌ها، از وظایف مهم ژئومورفولوژی است و می‌تواند نتایج مفیدی را فراهم سازد، از جمله: ۱) اطلاعاتی در زمینه منشأ پیدایش چشم‌انداز؛ ۲) ابزاری برای تفسیر فرایندهایی که دیده نمی‌شوند؛ ۳) بستری برای مشاهده الگوی توزیع فرایندهای عملکردی و ارتباط بین آنها؛ و ۴) بهبود بخشیدن نمایش ویژگی‌های سطحی زمین و در نظر داشتن ملاحظات Cook and ژئومورفولوژیکی در مدیریت سرزمین (Doornkamp, 1990). از طرف دیگر لندرفرم‌ها دست‌کم دو ویژگی اساسی را در خود دارند: اول اینکه نتیجه فرایندهای ژئومورفولوژیک و زمین‌شناختی گذشته‌اند؛ و دوم مرزهایی مشخص‌اند برای تعیین قلمرو حاکمیت فرایندهایی ژئومورفولوژیک کنونی (Dehn et al., 2001). اهمیت مطالعه لندرفرم‌ها به حدتی است که امروزه موضوع مطالعه ژئومورفومتری^۲ - به عنوان زیررشته‌ای از ژئومورفولوژی - ارائه می‌شود. اندازه‌گیری کمی و کیفی لندرفرم‌ها براساس آنالیز تغییرات ارتفاعی تحت تأثیر تابع فاصله است. اصل اساسی که ژئومورفومتری بر آن تأکید دارد، وجود ارتباط بین شکل ناهمواری و پارامترهای عددی مربوط به آن برای توصیف و تشریح فرایندهایی است که در تشکیل و تحول لندرفرم‌ها نقش دارند. مطالعات سنتی لندرفرم‌ها مبتنی بر مورفولوژی و توصیف کیفی اجزای چشم‌اندازهاست و همواره مهم‌ترین منبع اطلاعات درباره چشم‌اندازها بوده است. بیش از چند دهه، ژئومورفولوژیست‌ها از روش‌های کیفی برای توصیف و

طبقه‌بندی نظارت شده لندفرم‌های ژئومورفولوژیکی مناطق خشک با استفاده از پارامترهای ژئومورفومتریک



شکل ۱. نقشه ژئومورفولوژی، لندفرم، منطقه آران و بیدگل

منبع: مؤسسه جغرافیا دانشگاه تهران، ۱۳۸۱

استفاده از الگوریتم MLC در منطقه منجاب است. در این منطقه تنوع فرم‌های جریانی (آبی و بادی) اعم از مخروط‌افکنه، پلایا، انواع تپه‌های ماسه‌ای و جز اینها به چشم می‌خورد (شکل ۱).

۲- داده‌ها و روش

۲-۱- استخراج پارامترهای ژئومورفومتری
محاسبه انواع احنا در مدل رقومی ارتفاع رسترنی، پیکسل به پیکسل محاسبه می‌شود و برای هر سلول یک معادله پلی‌نامیال درجه چهار به کار می‌رود (رابطه ۱) و در یک پنجره با ابعاد 3×3 محاسبه می‌شود (شکل ۲).

نیز با توجه به اینکه محاسبه احنا در پنجره متحرک و با استفاده از هشت همسایه یک سلول انجام می‌گیرد، امکان تشخیص سلول‌ها و سطح محدب و مقعر وجود دارد.
(رابطه ۱)

$$Z = Ax^2y^2 + Bx^2y + Cxy^2 + Dx^2 + Ey^2 + Fxy + Gx + Hy + I$$

استخراج لندفرم‌ها که عناصر سازنده چشم‌اندازها هستند، از مدل رقومی ارتفاع با استفاده از اینها استخراج شده‌اند: روش‌های منطق فازی و طبقه‌بندی‌های نظارت نشده (Adediran et al., 2004; Burrough et al., 2000; Irvin et al., 1997 Brown et al., 1998; Hengl and Rossiter 2003; Prima et al., 2006 Stepinski and Collier, 2004; Stepinski and Vilata, 2005 کلاسه‌بندی احتمالی (Stepinski and Vilata, 2005)، طبقه‌بندی خودکار با Dragut and Blaschke, 2006 بهره‌گیری از تحلیل‌های شیء پایه تصویر (Dikau 1989; Evans 1972)، و توابع تشخیصی (Giles, 1998). انجام شده است. همچنین ایواهاشی و پایک (2006) با استفاده از سه شاخص گرادیان شب و تحدب موضعی و بافت سطحی (فرانانی عوارض یا فضای بین آنها) به استخراج عوارض مورفولوژیک پرداخته‌اند.

با توجه به پیشینه تحقیق ارائه شده، هدف این تحقیق ارائه روشی کمی برمبنای پارامترهای ژئومورفومتریک به منظور طبقه‌بندی لندفرم‌های با

از روابط جدول ۱ در قسمت تحلیل‌های ژئومورفومتریک نرمافزار LANDSERF محاسبه گردید و از آن با فرمت رستری در محیط نرمافزار ArcGIS خروجی گرفته شد. بنابراین در تحقیق حاضر، شاخص‌های ژئومورفومتریک به جای داده‌های چندطیفی در طبقه‌بندی به کار می‌روند.

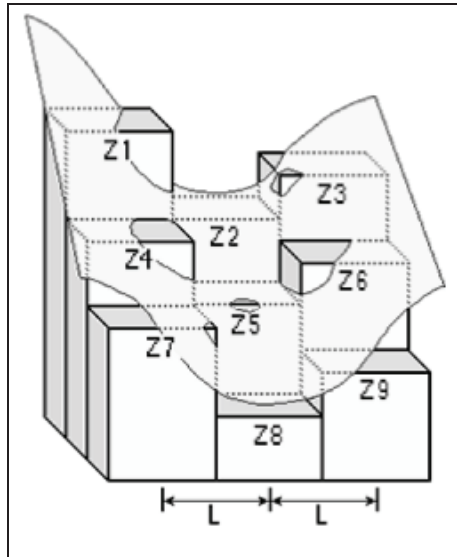
۲-۲- طبقه‌بندی حداکثر احتمال

در این تحقیق روش طبقه‌بندی نظارت شده حداکثر احتمال برای طبقه‌بندی لندفرم‌ها به کار رفت و از شاخص‌های ژئومورفومتریک به عنوان ورودی این روش استفاده گردید. روش مذکور از روش‌های استاندارد طبقه‌بندی است و براساس نظریه احتمالات طرح‌ریزی شده است. روش مذکور هم به مانند دیگر روش‌ها، از توابع تفکیک تشکیل شده است که براساس آنها می‌توان سطوح تصمیم‌گیری بین کلاس‌ها را تعیین کرد (Hudson, 1987, 1785-1796) قانون تصمیم‌گیری در روش حداکثر احتمال بدین شرح است:

رابطه (۲)

$$(x) = \log p(w_i) - \frac{1}{2} \log |\sum_i| - \frac{1}{2} (x - u_i)^T \sum_i^{-1} (x - u_i)$$

$$P_i(x) > P_j(x)$$



شکل ۲. نمایش شماتیک پارامترهای مورد استفاده در محاسبه انحنا

با توجه به اینکه سطوح پیوسته را با مدل داده رستری می‌توان نمایش داد لذا امکان مشتق‌گیری ریاضی در هر مکان وجود دارد. در عمل، به دلیل اینکه سطوح پیوسته مثلًا با مدل‌های رقومی ارتفاع به صورت گسسته با سلول‌ها نمایش داده می‌شوند، مشتق‌گیری به مفهوم واقعی ریاضی امکان‌پذیر نیست؛ ولی با محاسبه اختلاف بین ارزش‌های سلول‌های مجاور با برآش چند جمله‌ای با سلول‌های واقع در یک پنجره می‌توان آنها را برآورد کرد (Alimohammadi, 2008). در این تحقیق با به کارگیری ۵ شاخص ژئومورفومتریک اقدام به طبقه‌بندی لندفرم‌ها شد و شاخص‌ها با استفاده

جدول ۱. روابط محاسبه پارامترهای ژئومورفومتریک

پارامتر مورفومتریک	رابطه
شیب	$\arctan(\sqrt(d_2 + e_2))$
انحنای پروفیل	$n * g * (a * d^2 + b * e^2 + c * d * e) / (d^2 + e^2) (1 + (d^2 + e^2))^{1.5}$
انحنای طولی	$n * g * (a * d^2 + b * e^2 + c * d * e) / (d^2 + e^2) (1 + (d^2 + e^2))^{1.5}$
انحنای حداکثر	$n * g * (-a - b + \sqrt((a - b) * (a - b) + c^2))$
انحنای حداقل	$n * g * (-a - b - \sqrt((a - b) * (a - b) + c^2))$

در روابط ارائه شده در جدول، g : قدرت تفکیک مدل رقومی ارتفاع؛ n : ابعاد پنجره متحرک؛ $a-f$: ضرایب درجه دوم است.

نرم‌افزار پردازش تصویر Accuracy Assessment برای طبقه‌بندی حداکثر احتمال و ارزیابی دقت طبقه‌بندی به کار رفت. همچنین به منظور ارزیابی دقت از نقشه پایه ژئومورفولوژی آران و بیدگل - تهیه شده در مؤسسه جغرافیای دانشگاه تهران- استفاده شد و برای مؤلفان بروزرسانی و کنترل شده نیز کارآمدی داشت.

۳- بحث و بررسی

مدل‌های رقومی ارتفاع، مفیدترین ابزارهای نمایش پستی و بلندی‌های سطح زمین‌اند. این مدل‌ها مبتنی بر داده‌های رستری‌اند که در آنها ارزش هر سلول نمایشگر ارتفاع آن است. بنابراین ساختار ماتریسی آن امکان انجام محاسبات مشتق اول و دوم را فراهم می‌کند. در اینجا به منظور طبقه‌بندی لندفرم‌های منطقه منجاب، ابتدا پارامترهای ژئومورفومتریک محاسبه شد. شکل سطح زمین را به صورت کمی نمایش می‌دهد و بیانگر مشخصات فرم و شکل سطح زمین است. به عنوان مثال در انحنای طولی، مقدار منفی برابر تقریباً یا تورفتگی سلول را نشان می‌دهد و مقدار مثبت، تحدب در سلول را. مقدار صفر نیز نشان‌دهنده سطح صاف است (شکل ۳ ب). همچنین دره‌ها یا مناطق همگرا در شاخص انحنای حداقل (شکل ۳ ج)، دارای کمترین مقدار و در شاخص انحنای حداکثر (شکل ۳ د) دارای بیشترین مقدار هستند ولی در مورد خط الرأس‌ها و مناطق واگرایی بر عکس است. در بین شاخص‌های استخراج شده شبیه مشتق اول و چهار پارامتر انحنای عرضی، طولی، حداقل و جداکثر براساس مشتق‌گیری درجه دوم به دست آمده است که مقادیر هر کدام نمایانگر ویژگی‌های شکلی لندفرم‌هاست.

1. Erdas Imagine

X: در کلاس i قرار می‌گیرد اگر و فقط اگر
 P_i : احتمال وجود x در کلاس i
 $P(wi)$: احتمال اولیه کلاس i است و این، میزان محتمل بودن وقوع کلاس i را در منطقه مورد نظر نشان می‌دهد.

همچنین برای معرفی نمونه‌های آموزشی در طبقه‌بندی، ابتدا نقشه ژئومورفولوژی پایه آران و بیدگل از طریق پیمایش میدانی بروزرسانی و رقومی‌سازی گردید و سپس در منطقه منجاب از هر لندفرم موجود، ۵ نمونه آموزشی برای انجام طبقه‌بندی نظارت شده حداکثر احتمال مشخص گردید و به نرم‌افزار اراداس^۱ ارائه شد.

۴-۲- ارزیابی دقت طبقه‌بندی

به منظور ارزیابی دقت طبقه‌بندی و نقشه خروجی لندفرم‌ها دو روش مرسوم در اعتباریابی متقاطع به کار رفته‌اند؛ دقت کلی و شاخص کاپا. دقت کلی از نسبت پیکسل‌های درست طبقه‌بندی شده به کل پیکسل‌ها بدست آمد و رابطه ۳ به منظور محاسبه شاخص کاپا به کار گرفته شد:

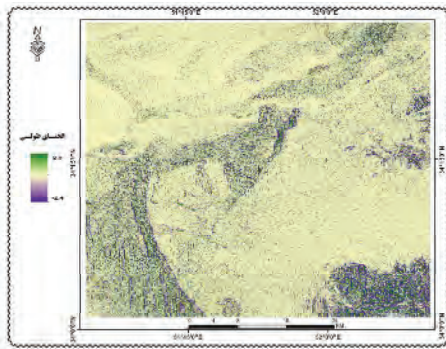
$$K = \frac{\phi_1 - \phi_2}{1 - \phi_2} \quad \text{رابطه (۳)}$$

$$\phi_1 = \frac{1}{N} \sum_{i=1}^m p_{ii} \quad \phi_2 = \frac{1}{N^2} \sum_{i=1}^m p_{ii} \times p_{ii}$$

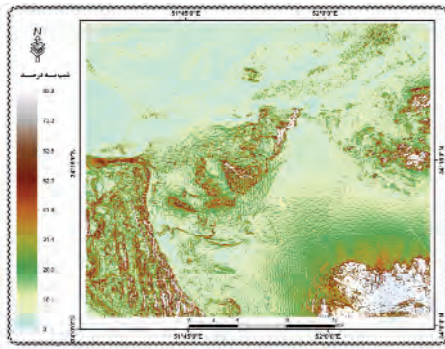
در رابطه مذکور، K شاخص کاپایی کلی، p_{ii} عناصر قطر اصلی، و m تعداد کلاس‌هاست.

۴-۳- داده‌های تحقیق

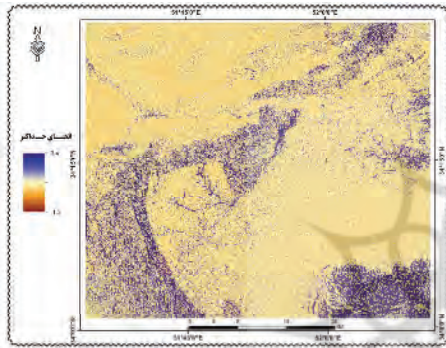
به منظور استخراج شاخص‌های ژئومورفومتریک منطقه منجاب از مدل رقومی ارتفاع SRTM منطقه - با قدرت تفکیک اسمی ۹۰ متر - استفاده گردیده و به کارگیری نرم‌افزارهای ژئومورفومتریک MICRODEM- LANDSERF شاخص‌های ژئومورفومتریک استخراج شده و بخش‌های Supervised Classification و



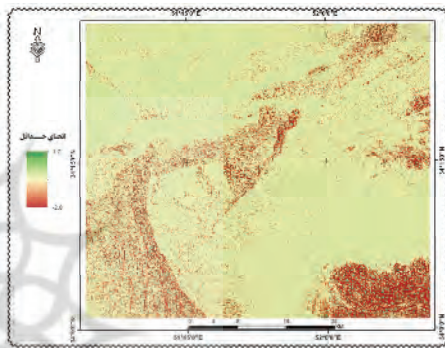
شکل ۳ (ب). پارامتر انحنای طولی



شکل ۳ (الف). پارامتر شیب به درصد



شکل ۳ (د). پارامتر انحنای حداکثر



شکل ۳ (ج). پارامتر انحنای حداقل

شکل ۳. شاخص‌های مورفومتریک مشتق اول و دوم

است. بنابراین شاخص‌های کمی ژئومورفومتریک که بیانگر شکل سطح زمین هستند امکان شناسایی اشکال سطحی زمین را به صورت کمی فراهم می‌سازند و رویکرد اتومناسیون را در شناسایی و طبقه‌بندی لندفرم‌ها میسر می‌کند.

به عنوان مثال در منطقه مرنجاب لندفرم برخان نسبت به تپه‌های ماسه‌ای عرضی دارای شیب میانگین مشابهی هستند. این به تنها بی شناسایی دو فرم را ممکن نمی‌کند ولی از طریق شاخص‌های ژئومورفومتریک دیگر اعم از میانگین انحنای حداقل یا حداکثر که در آن دو فرم مذکور اختلاف زیادی دارند، امکان شناسایی و تفکیک وجود دارد (جدول ۲).

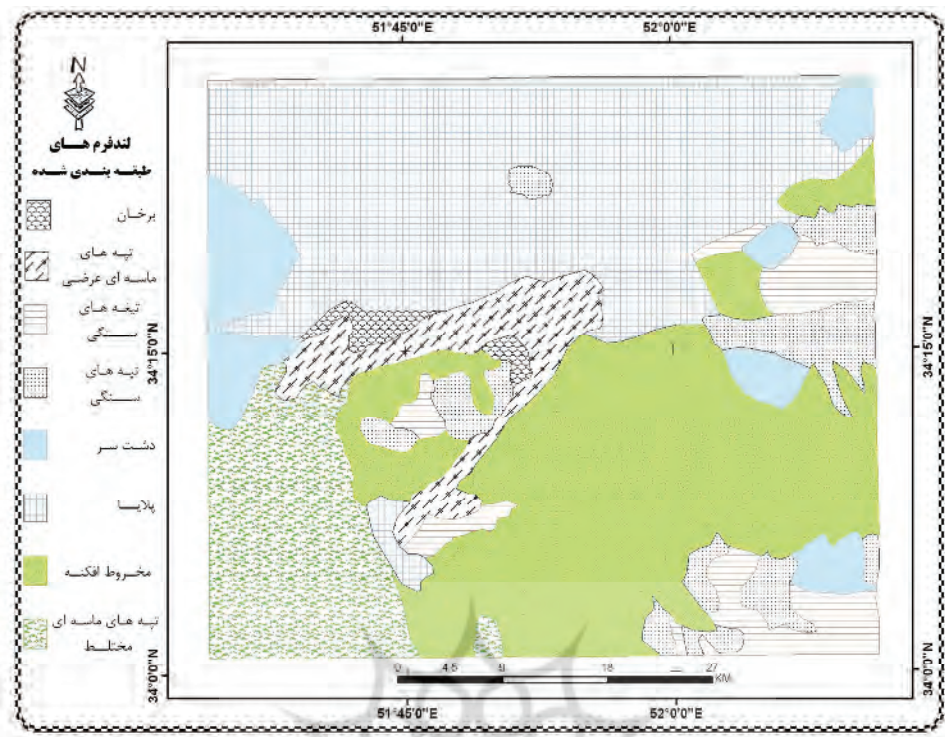
به منظور ارزیابی کمی - شکلی لندفرم‌های موجود در منطقه مرنجاب پس از استخراج شاخص‌های ژئومورفومتریک مقادیر میانگین و حداکثر و حداقل برای هر کلاس لندفرمی به دست آمد که به نظر می‌رسد می‌تواند شاخص مناسبی برای شناسایی کمی لندفرم‌ها در منطقه خشک باشد (جدول ۲). نتایج ارزیابی کمی نشان می‌دهد که لندفرم‌های مخروط‌افکنه، دشت‌سر و پلایا دارای شیب حداقل صفر هستند ولی در شیب حداکثر مخروط‌افکنه ۱۱/۵؛ دشت‌سر ۱۴ و پلایا ۷/۸۳ درجه‌اند و از نظر شیب میانگین نیز به ترتیب دارای ۱/۶۸ و ۲/۴۲-۱/۶۸ درجه هستند. از طرف دیگر میانگین انحنای حداقل در مخروط‌افکنه ۰/۰۴۲؛ دشت‌سر ۰/۰۵۲ و پلایا ۰/۰۵۱

طبقه‌بندی نظارت شده لندفرم‌های ژئومورفولوژیکی مناطق خشک با استفاده از پارامترهای ژئومورفومتریک

جدول ۲. مقادیر کمی شاخص‌های مورفومتریک لندفرم‌ها در مناطق مطالعاتی

شکل ۴) که دارای ویژگی های شکلی یکسانی هستند تفکیک لندرمها به خوبی انجام نگرفته و این خود موجب شده است که بخشی از مخروط افکنه جزء پلایا طبقه بندی گردد. به نظر می رسد برای حل این مسئله، بتوان در مطالعات آتی از داده های چندطیفی استفاده کرد. پس از تهیه نقشه لندرم با استفاده از الگوریتم MLC برمبنای شاخص های ژئومورفولومتریک و به منظور ارزیابی دقت، ماتریس خط انشکل شد و دقت طبقه بندی برای هر کلاس لندرمی (پیکسل های تشکیل دهنده هر لندرم) مشخص گردید. بدین منظور محدوده های لندرم به دست آمده از طبقه بندی انجام شده با محدوده های لندرم رقومی شده از نقشه پایه ژئومورفولوژی منطقه آران و بیدگل مقایسه گردید و از این طریق خطاهای در طبقه بندی معلوم شد و نتایج نشان داد که بیشترین خطای در مناطق مرزی لندرم ها رخ داده است. همچنین ارزیابی دقت حاکی از آن است که روش ارائه شده با دقت کلی ۸۱ درصد و شاخص کاپای ۷۷٪ توانسته است لندرم ها را در منطقه منجذب شناسایی و طبقه بندی کند و بنابراین به نظر می رسد که می تواند جایگزینی مناسب یا مکمل برای رویکرد سنتی تفسیر بصیری در شناسایی لندرم ها باشد.

با استفاده از شاخص های ژئومورفومتریک و روش طبقه بندی حداکثر شیاهت، لندرفم های منطقه منجاناب در هشت کلاس طبقه بندی گردید. شکل ۴ نقشه طبقه بندی لندرفم ها را نشان می دهد که پس از اعمال طبقه بندی، برداری شده است. برای انجام طبقه بندی، نمونه های آموزشی از هر کلاس لندرفمی با استفاده از نقشه لندرفم تهیه شده از منطقه ارائه گردید. نتایج حاصل از طبقه بندی مشخص می سازد که لندرفم پلایا با حدود ۹۳۷ کیلومترمربع بیشترین وسعت را دارد و پس از آن مخروط افکنه با ۸۵۸ کیلومتر مربع و تپه های ماسه ای مختلط با ۳۲۶ کیلومترمربع مساحت جای می گیرند. ناگفته نماند که در منطقه منجاناب برخان ها با ۳۱ کیلومترمربع کمترین مساحت را اشغال کرده اند. همان طور که در شکل ۴ دیده می شود، شکل لندرفم مخروط افکنه به علت اینکه از چندین مخروط افکنه دامنه ای متصل به هم تشکیل شده است و از طرف دیگر به دلیل پوشیده بودن قسمتی از ان با تپه های ماسه ای، دارای شکل مثلثی کلاسیک نیست. نتایج تحقیق نشان می دهد اعمال طبقه بندی روی شاخص های ژئومورفومتریک توانسته است به خوبی کلاس ها را از هم تفکیک کند؛ ولی در مناطق مرزی لندرفم هایی، مانند مخروط افکنه و پلایا (بخش، مرکزی



شکل ۴. نقشه برداری شده لندفرم‌های حاصل از طبقه‌بندی به روش MLC

۵- منابع

Adediran, A.O., Parcharidis, I., Poscolieri, M. & Pavlopoulos, K., 2004, Computer-Assisted Discrimination of Morphological Units on North-central Crete (Greece) by Applying Ultivariate statistics to Local Relief Gradients, Geomorphology, 58, PP. 357-370.

Ahmabadabi, A. Fathnia, A. Vaghefi, M. Salimi, S., 2009, Assignment Threshold of Basin River Extraction using Digital Elevation Model, Forth conference of Soil and Water management, Bahonar University.

Alimohammadi, A., 2008, Fundamentals of Informations Systems and Sciences, SAMT.

۶- نتیجه‌گیری

امروزه رویکرد سنتی تفسیر بصری در شناسایی لندفرم‌ها به علت عدم دقت و نیز وقت‌گیر بودن و وابستگی نتایج به تفسیر مفسر، کارایی و سرعت لازم را ندارد. این تحقیق با رویکرد اتوماسیون در شناسایی و طبقه‌بندی اشکال سطحی زمین، روشی کمی را ارائه می‌کند که با استفاده از شاخص‌های زئومورفومتریک و الگوریتم طبقه‌بندی MLC لندفرم‌های منطقه خشک و کویری منجاب را با لندفرم‌های متنوع آبی و بادی شناسایی و طبقه‌بندی کرده است. نتایج تحقیق نشان داد روش ارائه شده توانسته است با دقت کلی ۸۱ درصد و شاخص کاپای ۰/۷۳ لندفرم‌ها را طبقه‌بندی کند، به گونه‌ای که پلایا و مخروط افکنه و تپه‌های ماسه‌ای بیشترین گسترش را دارد و بدخشان کمترین مساحت را در منطقه در بر گرفته است.

- Blumberg, D.G., 2006, **Analysis of Large Aeolian (wind-blown) Bedforms Using the Shuttle Radar Topography Mission (SRTM) Digital Elevation Data**, Remote Sensing of Environment, 100, PP. 179- 189.
- Brown, D.G., Lusch, D.P. & Duda, K.A., 1998, **Supervised Classification of Types of Laciated Landscapes Using Digital Elevation Data**, Geomorphology, 21, PP. 233-250.
- Bue, B.D. and Stepinski, T.F., 2006, **Automated Classification of Landforms on Mars**, Computers & Geosciences, 32(5), PP. 604-614.
- Burrough, P.A., Van Gaans, P.F.M. & MacMillan, R.A., 2000, **High-resolution Landform Classification Using Fuzzy K-means**, Fuzzy Sets and Systems, 113, PP. 37-52.
- Chorley, R.J., Dunn, A.J., Beckinsale, R.P., 1964, **The History of the Study of Landforms**, V.1. Methuen, London, 678 pp.
- Cooke, R.U., Doomkamp, J.C., 1990, **Geomorphology in Environmental Management**, Clarendon Press, Oxford, 410 pp.
- Dehn, M., Gärtner, H., Dikau, R., 2001, **Principles of Semantic Modeling of Landform Structures**, Computers & Geosciences 27, PP. 1005-1010.
- Dikau, R., 1989, **The Application of a Digital Relief Model to Landform Analysis in Gomorphology**, In: Raper, J., Editor, Three Dimensional Applications in Geographical information Systems, Taylor & Francis, London, PP. 51-77.
- Dragut, L. & Blaschke, T., 2006, **Automated classification of landform elements using Objectbased Image Analysis**, Geomorphology, 81, PP. 330-344.
- Evans, I.S., 1972, **General Geomorphology, Derivatives of Altitude and Descriptive Statistics**, In R.J. Chorley (Ed.), Spatial Analysis in Geomorphology PP. 17-90. London: Methuen & Co. Ltd.
- Fisher, P., Wood, J., & Cheng, T., 2004, **Where is Helvellyn? Fuzziness of Multiscale Landscape Morphometry**, Transactions of the Institute of British Geographers, 29, PP. 106-128.
- Giles, P.T., and Franklin, S.E., 1998, **An Automated Approach to the Classification of the Slope Units Using Digital Data**, Geomorphology, 21 (3-4), PP. 251-264.
- Giles, P.T., 1998, **Geomorphological Signatures: Classification of Aggregated Slope Unit Objects from Digital Elevation and Remote Sensing Data**, Earth Surface Processes and Landforms, 23, PP. 581- 594.
- Grohmann, C.H., Riccomini, C., & Alves, F.M., 2007, **SRTM-based Morphotectonic Analysis of the Pocos de Caldas Alkaline Massif**, Southeastern Brazil, Computers & Geosciences, 33, PP. 10-19.
- Guth, P.L., 2006, **Geomorphometry from SRTM: Comparison to NED**, Photogrammetric Engineering and Remote Sensing, 72, PP. 269-278.

- Hengl, T., & Rossiter, D.G., 2003, **Supervised Landform Classification to Enhance and Replace Photo-interpretation in Semi-detailed Soil Survey**, Soil Science Society of America Journal, 67, PP. 1810-1822.
- Hudson W.D., 1987, **Evaluation of Several Classification Schemes for Mapping Forest Cover Types in Michigan**, International journal of remote sensing, Vol. 8, No. 12, PP. 1785-1796.
- Iwahashi, J., & Pike, R.J., 2007, **Automated Classifications of Topography from DEMs by an Unsupervised Nested-means Algorithm and a Three-part Geometric Signature**, Geomorphology, 86, PP. 409-440
- Jamieson, S.S.R., Sinclair, H.D., Kirstein, L.A., Purves, R.S., 2004, **Tectonic Forcing of Longitudinal Valleys in the Himalaya: Morphological Analysis of the Ladakh Batholith**, North India, Geomorphology 58, PP. 49–65.
- Kosmas Pavlopoulos Niki Evelpidou Andreas Vassilopoulos, 2009, **Mapping Geomorphological Environments**; Springer.
- Lobeck, A.K., 1939, **Geomorphology**, McGraw-Hill, New York, 731 pp.
- Ludwig, R. & Schneider, P., 2006, **Validation of Digital Elevation Models from SRTM X-SAR for Applications in Hydrologic Modeling**, ISPRS Journal of Photogrammetry and Remote Sensing, 60, PP. 339-358.
- Prima, O.D.A., Echigo, A., Yokoyama, R. & Yoshida, T., 2006, **Supervised Landform Classification of Northeast Honshu from DEM-derived Thematic Maps**, Geomorphology, 78, PP. 73-386.
- Ramesht Mohammad Hossein, 2006, **Symbols and Images in Geomorphology**, SAMT.
- Shayan, S. Mollameherizadeh, F. Jannati, M., 2004, **Efficiency Remote Sensing Data in Produce Landform Maps and Its Role in Environmental Planning**, Human Sciences modares, Period 9, Num 4, PP. 80-49.
- Stepinski, T.F. & Vilalta, R., 2005, **Digital Topography Models for Martian Surfaces**, IEEE Geoscience and Remote Sensing Letters, 2, PP. 260–264.
- Summerfield, M.A., 1991, **Global Geomorphology**, Longman, Harlow, 537 pp.
- Wright, R., Garbeil, H., Baloga, S.M., & Mouginis-Mark, P., 2006, **An Assessment of Shuttle Radar Topography Mission Digital Elevation Data for Studies of Volcano Morphology**, Remote Sensing of Environment, 105, PP. 41-53.